

التوصية ITU-R F.1764

منهجية تقييم التداخل من أنظمة الخدمة الثابتة التي تستعمل محطات المنصات عالية الارتفاع (HAPS) إلى الأنظمة اللاسلكية الثابتة*

في نطاقات فوق 3 GHz

(المسألة 212-2/9)

(2006)

مجال التطبيق

تقدم هذه التوصية منهجية لتقييم التداخل لاستعمالها في تبادل الدراسات بين أنظمة الخدمة الثابتة التي تستعمل محطات المنصات عالية الارتفاع والأنظمة اللاسلكية الثابتة التقليدية في نطاقات التردد فوق 3 GHz استجابة للدراسة التقنية المطلوبة في القرار (Rev.WRC-03) 734. ويجري تحليل حالات التداخل من السفن الفضائية لمحطات المنصات عالية الارتفاع والمحطات الأرضية إلى محطات الترحيل الراديوي.

إن جمعية الاتصالات الراديوية للاتحاد الدولي للاتصالات،

إذ تضع في اعتبارها

أ) أنه تم استنباط تكنولوجيا جديدة تستخدم محطات المنصات عالية الارتفاع في طبقة الاستراتوسفير لتقديم خدمات ذات ساعات عالية؛

ب) أن بعض الإدارات بقصد تشغيل أنظمة تستعمل محطات المنصات عالية الارتفاع في نطاقات ترددية موزعة حسراً عن طريق جداول توزيع الترددات أو حواشى بالنسبة للاتصالات الراديوية الأرضية مثل الخدمات الثابتة،
وإذ تعرف

أ) بأن المؤتمر العالمي للاتصالات الراديوية لعام 1997 وضع أحكاماً لتشغيل محطات المنصات عالية الارتفاع داخل الخدمة الثابتة في النطاقين GHz 47,5-47,2 و GHz 47,9-48,2 (انظر القرار (Rev.WRC-03) 122)؛

ب) بأنه نظراً لأن النطاقات GHz 47 أكثر تأثراً بتهين المطر، عَبَّرت بلدان عددة في الإقليم 3 وبلد واحد من الإقليم 1 خلال المؤتمر العالمي للاتصالات الراديوية لعام 2000 عن حاجتها لنطاق ترددي أقل لمحطات المنصات عالية الارتفاع ومن ثم اعتماد الرقمين 537A.5 و 543A.5 من لوائح الراديوي؛

ج) بأن المؤتمر العالمي للاتصالات الراديوية لعام 2003 عَدَّ الرقمن 537A.5 و 543A.5 من لوائح الراديوي لإضافة بلدان عديدة، كما قرر السماح باستعمال محطات المنصات عالية الارتفاع في الخدمة الثابتة داخل تردد طيفي قدره MHz 300 في النطاق GHz 28,35-27,5 وفي النطاق GHz 31,3-31,0 على أساس عدم حدوث تداخل ضار وعلى أساس عدم طلب حماية بالنسبة لمحطات الخدمات الأخرى التي تعمل طبقاً بجدول توزيع الترددات للمادة 5 من لوائح الراديوي الصادر بموجب القرار (WRC-03) 145؛

* المقصود بالمصطلح "الأنظمة اللاسلكية الثابتة" المستخدم في هذه التوصية أنظمة الترحيل الراديوي من نقطة إلى نقطة. وبالتالي فإن المصطلح "محطة ترحيل راديوي" مستخدم أيضاً.

د) بأن القرار (Rev.WRC-03) 734 يدعو قطاع الاتصالات الراديوية أن يجري دراسات تنظيمية وتقنية لتحديد ما يمكن عمله لتسهيل تشغيل الأنظمة التي تستخدم محطات المنصات عالية الارتفاع وتشجيع الإدارات على المساهمة بإيجابية في تبادل الدراسات في النطاقات الترددية التي تفوق 3 GHz الموزعة حسراً على الاتصالات الأرضية الراديوية؛

توصي

1 بأنه يمكن استخدام المنهجية الموضحة في الملحق 1 استجابة للدراسة التقنية المذكورة في الفقرة وإذ تعترف د) لتقييم التداخل من الأنظمة التي تستعمل محطات المنصات عالية الارتفاع إلى الأنظمة اللاسلكية الثابتة في النطاقات فوق 3 GHz.

الملاحق 1

منهجية تقييم التداخل من أنظمة الخدمة الثابتة التي تستعمل محطات المنصات عالية الارتفاع (HAPS) إلى الأنظمة اللاسلكية الثابتة في نطاقات فوق 3 GHz

1 مقدمة

يقدم هذا الملحق منهجهية لتقييم التداخل لكي تستعمل في تبادل الدراسات بين أنظمة الخدمة الثابتة التي تستعمل محطات المنصات عالية الارتفاع والأنظمة اللاسلكية الثابتة في نطاقات التردد التي تفوق 3 GHz. ويتم بحث حالات التداخل من السفن الفضائية التي تحمل محطات المنصات عالية الارتفاع والمحطات الأرضية إلى محطات الترحيل الراديوية. كما يقدم الملحق مثالاً لتقييم التداخل عند تردد 6 GHz¹. وقد افترض هذا التردد فقط لعرض مثال لتقييم التداخل.

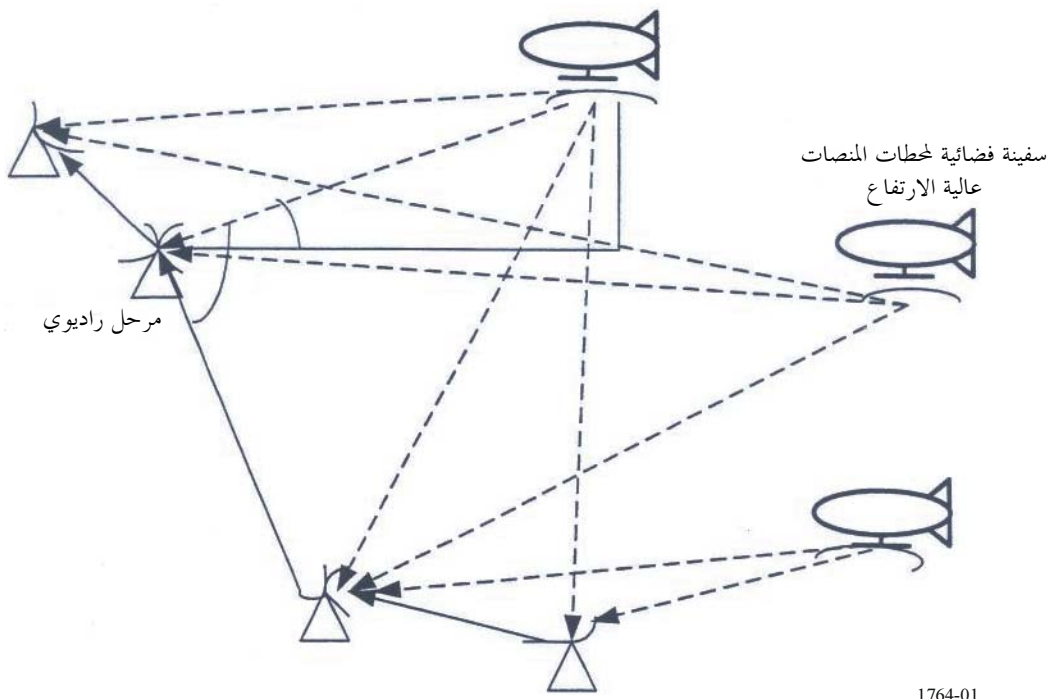
2 منهجهية حساب التداخل من أنظمة الخدمة الثابتة التي تستعمل محطات المنصات عالية الارتفاع إلى الأنظمة اللاسلكية الثابتة

1.2 التداخل من سفن فضائية تحمل محطات المنصات عالية الارتفاع إلى محطات الترحيل الراديوى بين الشكل 1 حالة التداخل من سفن فضائية تحمل محطات المنصات عالية الارتفاع إلى محطات الترحيل الراديوى.

¹ من المعروف أن التردد 6 GHz لا يوجد في نطاق موزع حسراً لاتصالات راديوية أرضية. وقد تم اختياره لهذا التحليل لتيسير وضع منهجهية بسبب سيطرة البيانات التقنية المتاحة للنظام الأرضي.

الشكل 1

بيئة تداخل من السفن الفضائية التي تحمل محطات المنصات عالية الارتفاع إلى محطات الترحيل الراديوية



1.1.2 بالنسبة لمحطات الترحيل الراديوية التماضية

يمكن الحصول على تداخل النطاق الأساسي لمحطة ترحيل راديوية متماثلة من سفينة فضائية تحمل محطات المنصات عالية الارتفاع عن طريق المعادلة (1):

$$(1) \quad F(\theta) + G(\phi) + N_{br} + 10 \log \left(\frac{\lambda^2}{4\pi} \right) - L_{fr}$$

حيث:

$F(\theta)$: كثافة تدفق القدرة لمحطة المنصات عالية الارتفاع المحمولة على سفينة فضائية بدلالة زاوية ورود فوق المستوي الأفقي، θ (dB(W/(m² · 4 kHz)))

$G(\phi)$: كسب هوائي لمحطة الترحيل الراديوية في اتجاه المحطة المحمولة، (dB_i)

N_{br} : نسبة الضوضاء الحرارية إلى ضوضاء المستقبل في النطاق الأساسي (dB(pW0p · 4 kHz))

λ : الطول الموجي للموجة الحاملة (m)

L_{fr} : خسارة مغذى لمحطة الترحيل الراديوية (dB).

وعموماً، يمكن تحديد سوية كثافة تدفق القدرة على سطح الأرض، $F(\theta)$ في شكل الصياغة التالية:

$$(2) \quad F(\theta) = \begin{cases} pfd_{low} & \text{for } 0^\circ \leq \theta \leq 5^\circ \\ pfd_{low} + 0.05(pfd_{high} - pfd_{low})(\theta - 5) & \text{for } 5^\circ \leq \theta \leq 25^\circ \\ pfd_{high} & \text{for } 25^\circ \leq \theta \leq 90^\circ \end{cases}$$

حيث:

pfd_{low} : السوية المسموح بها لزاوية ورود منخفضة ($\text{dB}(\text{W}/(\text{m}^2 \cdot 4 \text{ kHz}))$)

pfd_{high} : السوية المسموح بها لزاوية ورود عالية ($\text{dB}(\text{W}/(\text{m}^2 \cdot 4 \text{ kHz}))$)

ومن ثم، يمكن حساب تداخل النطاق الأساسي لمحطة ترحيل راديوي تماثلية بواسطة مدخلات متعددة من سفن فضائية مرئية باستخدام المعادلة (3):

$$(3) \quad I_{A-T} = 10 \log \left\{ \sum_i \left(10^{\frac{F(\theta_i)}{10}} 10^{\frac{G(\varphi_i)}{10}} \right) \right\} + N_{br} + 10 \log \left(\frac{\lambda^2}{4\pi} \right) - L_{fr}$$

حيث n تمثل التأثير بواسطة السفينة الفضائية رقم i -th الحاملة لمحطات المنصات عالية الارتفاع والمرئي عند محطة الترحيل الراديوي.

2.1.2 بالنسبة لمحطات الترحيل الراديوي الرقمية

تستعمل معظم أنظمة الخدمة الثابتة حالياً التشكيل الرقمي. وبالنسبة لأنظمة الخدمة الثابتة الرقمية من نقطة إلى نقطة (P-P) ومن نقطة إلى عدة نقاط (P-MP)، فإنه من المناسب تقييم التداخل بدلاً من الاتصالات الجزئي في الأداء بالنسبة للطرق، على النحو المحدد في التوصية ITU-R F.1107، مع مراعاة أن سوية التداخل لا تتغير مع الزمن.

وبالنسبة لأنظمة الخدمة الثابتة الرقمية من نقطة إلى نقطة بعدد n من القفزات والتي تعمل في ترددات يسود فيها بوجه عام الخيو الناشئ عن تعدد المسيرات وأن هذا الأمر مسلم به، فإن أهداف الأداء بالنسبة لأنظمة الخدمة الثابتة من نقطة إلى نقطة متعددة القفزات تحدد بوجه عام على أساس طريق على النحو التالي:

$$(4) \quad FDP_{route} = 100 \frac{\sum_{k=1}^n (I_k)}{n \times N_T} \%$$

حيث:

N_T : الضوضاء الحرارية للمستقبل

I_k : التداخلات الإجمالية الواقعة على المستقبل رقم k -th من سفن فضائية حاملة لمحطات المنصات عالية الارتفاع مرئية.

ويمكن تحديد التداخلات الإجمالية المستقبلة عند محطة ترحيل راديوي رقمية بجمع الإسهامات من كل سفينة من السفن الفضائية الحاملة لمحطات المنصات عالية الارتفاع. ويمكن تحديد كل مساهمة من هذه المساهمات على النحو التالي:

$$(5) \quad I_D = F(\theta) + G(\varphi) + 10 \log \left(\frac{\lambda^2}{4\pi} \right) - L_{fr}$$

حيث:

$F(\theta)$: كثافة تدفق القدرة لمحطة المنصات عالية الارتفاع المحمولة على سفينة فضائية بدلاً من زاوية ورود فوق المستوى الأفقي، $\theta (\text{dB}(\text{W}/(\text{m}^2 \cdot \text{MHz})))$

$G(\varphi)$: كسب هوائي محطة الترحيل الراديوي في اتجاه المحطة المحمولة (dBi)

λ : الطول الموجي للموجة الحاملة (m)

L_{fr} : خسارة معذبي محطة الترحيل الراديوي (dB).

2.2 التداخل من محطات أرضية بها محطات المنصات عالية الارتفاع إلى محطة ترحيل راديوبي

يبين الشكل 2 حالة التداخل من محطات أرضية بها محطات المنصات عالية الارتفاع إلى محطة ترحيل راديوبي. ونحصل على قدرة التداخل من محطة أرضية بها محطات المنصات عالية الارتفاع إلى محطة ترحيل راديوبي بواسطة المعادلة (6):

$$(6) \quad I_G = P_{HG} - L_{fh} + G(\theta_{H-R}) - L_b(p) + G(\theta_{R-H}) - L_{fr}$$

حيث:

P_{HG} : كثافة قدرة الإرسال من المحطة الأرضية التي بها محطات المنصات عالية الارتفاع (dB(W/MHz))

L_{fh} : خسارة مغذى المحطة الأرضية HAPS (dB)

$G(\theta_{H-R})$: كسب هوائي للإرسال للمحطة الأرضية HAPS عند الزاوية θ_{H-R} الواقعه بين اتجاه الحزمة الرئيسية للمحطة الأرضية HAPS واتجاه محطة الترحيل الراديوبي المتأثرة بالتدخل (dBi)

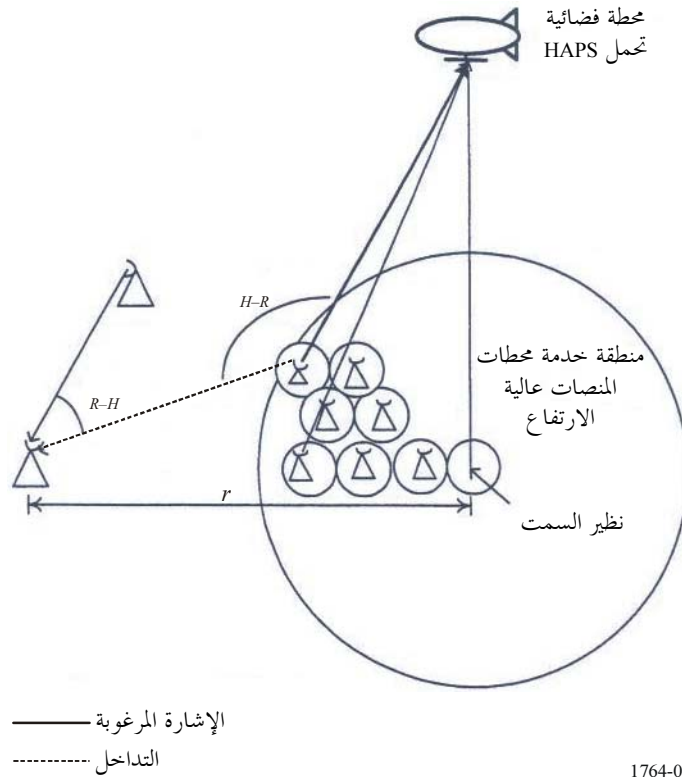
$L_b(p)$: خسارة الإرسال الأساسية التي لا يجب تجاوزها بالنسبة للنسبة المئوية للزمن (%) p الواردة في النوصية ITU-R P.452

$G(\theta_{R-H})$: كسب هوائي استقبال محطة الترحيل الراديوبي عند زاوية θ_{R-H} بين اتجاه الحزمة الرئيسية للمحطة الترحيل الراديوبي واتجاه المحطة الأرضية HAPS المسيبة للتداخل (dBi)

L_{fr} : خسارة مغذى محطة الترحيل الراديوبي (dB).

الشكل 2

بيئة التداخل من محطة أرضية HAPS إلى محطة ترحيل راديوبي



ويمكن الحصول على قدرة التداخل عند محطة ترحيل راديوى من مدخلات متعددة لمحطات أرضية HAPS باستخدام المعادلة (7) مع أحد الآلية الموضحة في الشكل 3 في الاعتبار.

ويفترض في المعادلة (7) أن الامتصاص الجوى يمكن إهماله على مسیر انتشار خط البصر تحت التردد 10 GHz. ويستند نموذج الانتشار المستخدم إلى التوصية ITU-R P.452 على أن تكون النسبة المئوية للزمن p تساوى 50%:

$$(7) \quad I_{G-T} = P_{HG} - L_{fh} - 92.5 - 20 \log f + 10 \log \left\{ \sum_i \sum_j \left(\sqrt{x_{ij}^2 + y_{ij}^2} \right)^{-2} 10^{\frac{G(\theta_{R-H})}{10}} 10^{\frac{G(\theta_{H-R})}{10}} \right\} - L_{fr}$$

حيث:

f : التردد (GHz)

$$\begin{cases} r + id & (j = 0) \\ r + \frac{(2i-1)}{2}d & (j = 1) \end{cases}$$

الإحداثي x للمحطة الأرضية HAPS

$y_{ij} = jd \sin 60^\circ$: الإحداثي y للمحطة الأرضية HAPS

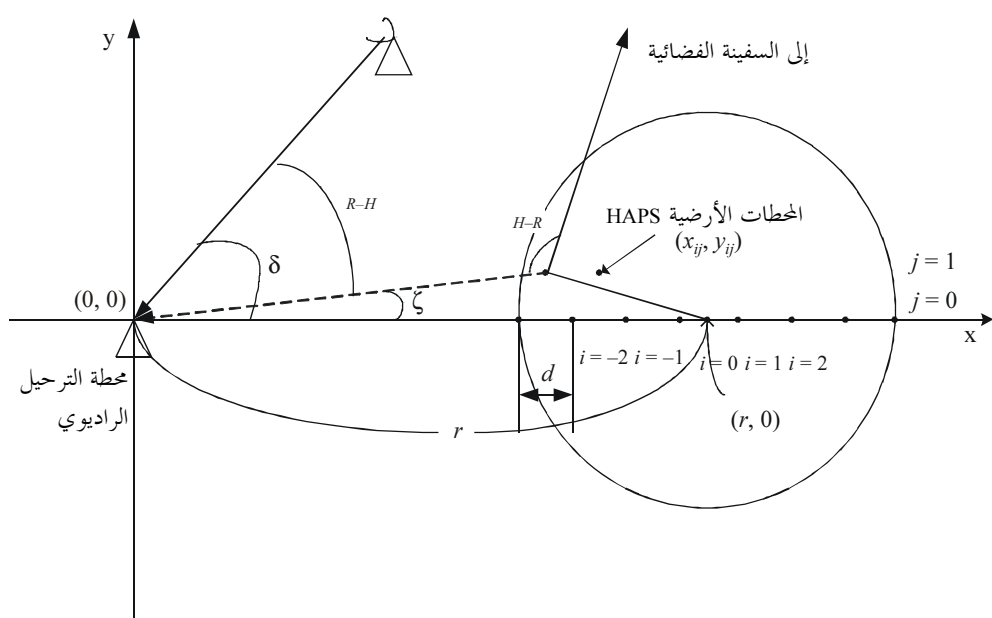
r : المسافة بين محطة الترحيل الراديوى ونظير السمت للمحطة الفضائية HAPS

d : المسافة بين المحطات الأرضية HAPS

i, j : موقع الخلية على المحور x والمحور y , على التوالي.

الشكل 3

آلية حساب التداخل من محطات أرضية HAPS إلى محطة ترحيل راديوى



1764-03

ويمكن ب مجرد تقسيم سوية التداخل عند محطة الترحيل الراديوى تقسيم النسبة I/N على النحو التالي:

$$(8) \quad I/N = I_{G-T} - \{ 10 \log(k T B) + NF \} \quad \text{dB}$$

حيث:

$$(J/K) 10^{-23} \times 1,38 = k$$

T : درجة الحرارة (K)

B : عرض النطاق (Hz)

NF : عامل الضوضاء لخطة الترحيل الراديوية (dB).

مثال لتقييم التداخل من أنظمة HAPS إلى أنظمة لاسلكية ثابتة

3

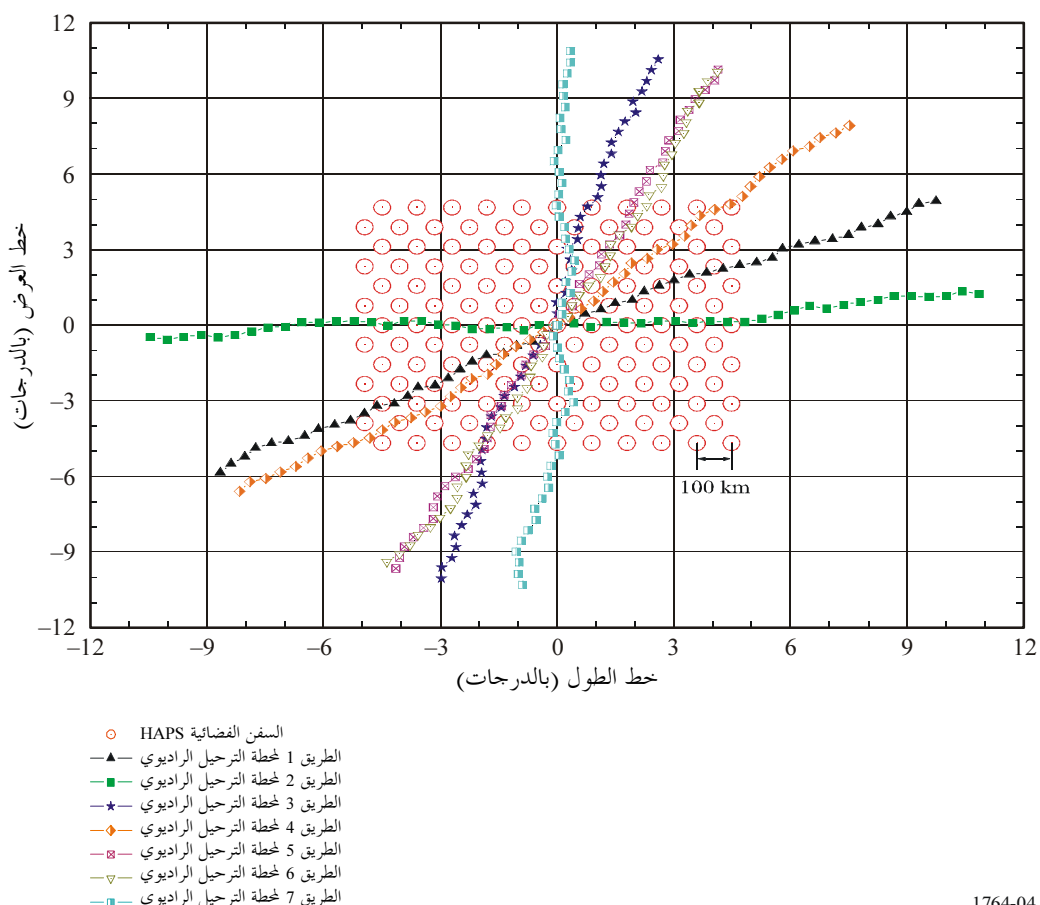
التداخل من سفن فضائية HAPS إلى محطات ترحيل راديوية

1.3

يبين الشكل 4 نموذج التوزيع المفترض لسفن فضائية HAPS ومحطات ترحيل راديوية لتقييم التداخل.

الشكل 4

نموذج توزيع محطات الترحيل الراديوية والسفن الفضائية HAPS



1764-04

يمكن لسفن فضائية HAPS عند نقطة ثابتة بارتفاع 20 كم أن تغطي منطقة خدمة قطرها 110 كم على الأرض (زاوية الارتفاع 20°)، بحيث يمكن توزيع موقع نظير السمت للسفينة الفضائية HAPS بانتظام في حيز 100 كم مع مراعاة التراكم

بين مناطق الخدمة على النحو المبين في الشكل 4. ويفترض أن السفن الفضائية HAPS موزعة بانتظام في منطقة مساحتها $1000 \times 1000 \text{ كم}^2$.

ويفترض أن الطرق المتأثرة بالتدخل لنظام لاسلكي ثابت يتكون من 50 قفزة موزعة بحيث تكون مراكز الطرق محاذية لمركز توزيع السفن الفضائية.

ويبيّن الجدول 1 معلمات لنظام لاسلكي ثابت وسفينة فضائية HAPS المستعملة في الحسابات. وقد تم اختبار التردد 6 GHz فقط لعرض مثال لعملية تقييم التداخل. ولتقييم التداخل في هذا الملحق، فإن جميع الإحداثيات تراعي احناء الأرض.

الجدول 1

معلومات مشتركة لنظام لاسلكي ثابت وسفينة فضائية HAPS

القيم	المعلمات	
GHz 6		التردد
50	عدد القفزات لكل طريق	نظام لاسلكي ثابت
km 50	المسافة بين القفزات	
600	عدد الطرق	
126	عدد السفن الفضائية	سفينة فضائية HAPS
km 20	ارتفاع	

1.1.3 بالنسبة لخطوات الترحيل الراديوية التماضية

يبين الجدول 2 معلمات النظام لنظام ترحيل راديوي تماضي وسفينة فضائية HAPS المستعملة في الحسابات. وتستند معلمات النظام الخاصة بالأنظمة اللاسلكية الثابتة لتقاسم الترددات إلى التوصية ITU-R F.758.

الجدول 2

معلومات النظام لنظام لاسلكي ثابت تماضي وسفينة فضائية HAPS

المواصفات	المعلمات	
التوصية ITU-R F.699	مخطط إشعاع الهوائي	نظام لاسلكي ثابت
dB 45	الكسب الأقصى للهوائي	
dB 4	حسارة المغذى	
dB 8	عامل ضوضاء المستقبل	
زاوية الارتفاع بين محطة الترحيل الراديوية		
توزيع غوسي		
$-156 \sim -152 \text{ (dB(W/(m}^2 \cdot 4 \text{ kHz}))}$	الحد الأدنى لكثافة تدفق القدرة (pdf_{low})	سفينة فضائية HAPS
$-148 \sim -142 \text{ (dB(W/(m}^2 \cdot 4 \text{ kHz}))}$	الحد الأعلى لكثافة تدفق القدرة (pdf_{high})	

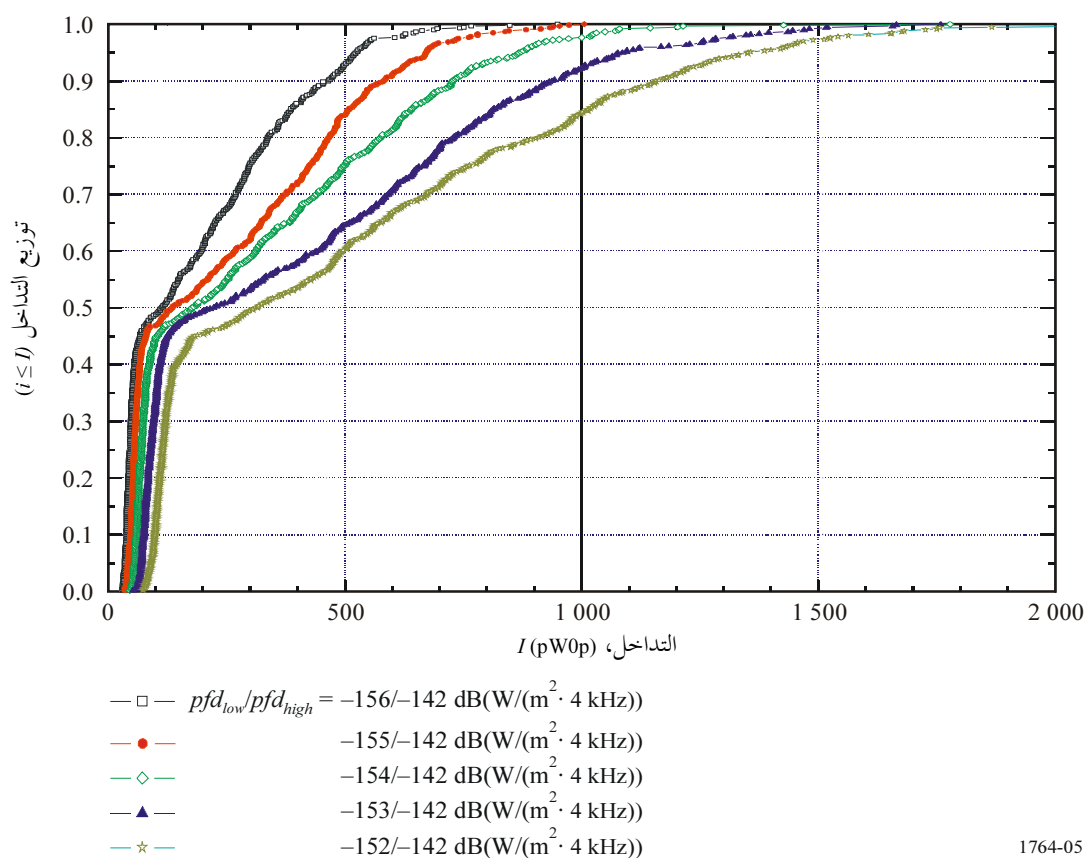
ويفترض أن القيمة القصوى المسموح بها للتدخل تساوى $1\text{ pW}0\text{p}$ متوسط قيمة الضوضاء المعيارية الموزونة خلال دقيقة واحدة لأكثر من 20% لأى شهر لأنظمة لاسلكية ثابتة تماثلية على النحو الموضح في التوصية ITU-R SF.357.

ويبين الشكلان 5 و 6 توزيعات التدخل المتوقعة من سفن فضائية HAPS إلى محطات ترحيل راديوى تماثلية مع المتغير $pf_{d_{low}}$ و $pf_{d_{high}}$.

في الشكل 5، عند افتراض سوية كثافة القدرة لسفينة فضائية HAPS $142 - 152 \text{ dB(W/(m}^2 \cdot 4 \text{ kHz}))$ ، فإن محطات الترحيل الراديوى تستقبل تدالعاً أقل من $1\text{ pW}0\text{p}$ 1 000 في نحو 84% من الطرق. وكلما تناقص المدار $pf_{d_{low}}$ ، فإن التدخل المستقبل يقل أيضاً. فمثلاً عندما يقل $pf_{d_{low}}$ بمقدار 4 dB عن $pf_{d_{high}}$ تكون $pf_{d_{low}}$ تساوى $156 - 165 \text{ dB(W/(m}^2 \cdot 4 \text{ kHz}))$ ، فإن محطات الترحيل الراديوى تستقبل في 100% من الطرق تدالعاً أقل من معيار التدخل المفترض البالغ $1\text{ pW}0\text{p}$ 1 000.

الشكل 5

توزيع التدخل مع الحد الأدنى لكتافة تدفق القدرة $pf_{d_{low}}$ من سفن فضائية HAPS



ويبين الشكل 6 توزيع التدخل مع تغييرات في الحد الأعلى لكتافة تدفق القدرة $pf_{d_{high}}$ عندما يكون الحد الأدنى لكتافة تدفق القدرة $pf_{d_{low}}$ يساوى $152 - 165 \text{ dB(W/(m}^2 \cdot 4 \text{ kHz}))$. وحتى لو تناقصت $pf_{d_{high}}$ بمقدار 6 dB عن القيمة .%5، فإن الفرق الأقصى في توزيع تدخل أقل من $1\text{ pW}0\text{p}$ يكون 142 - .%5.

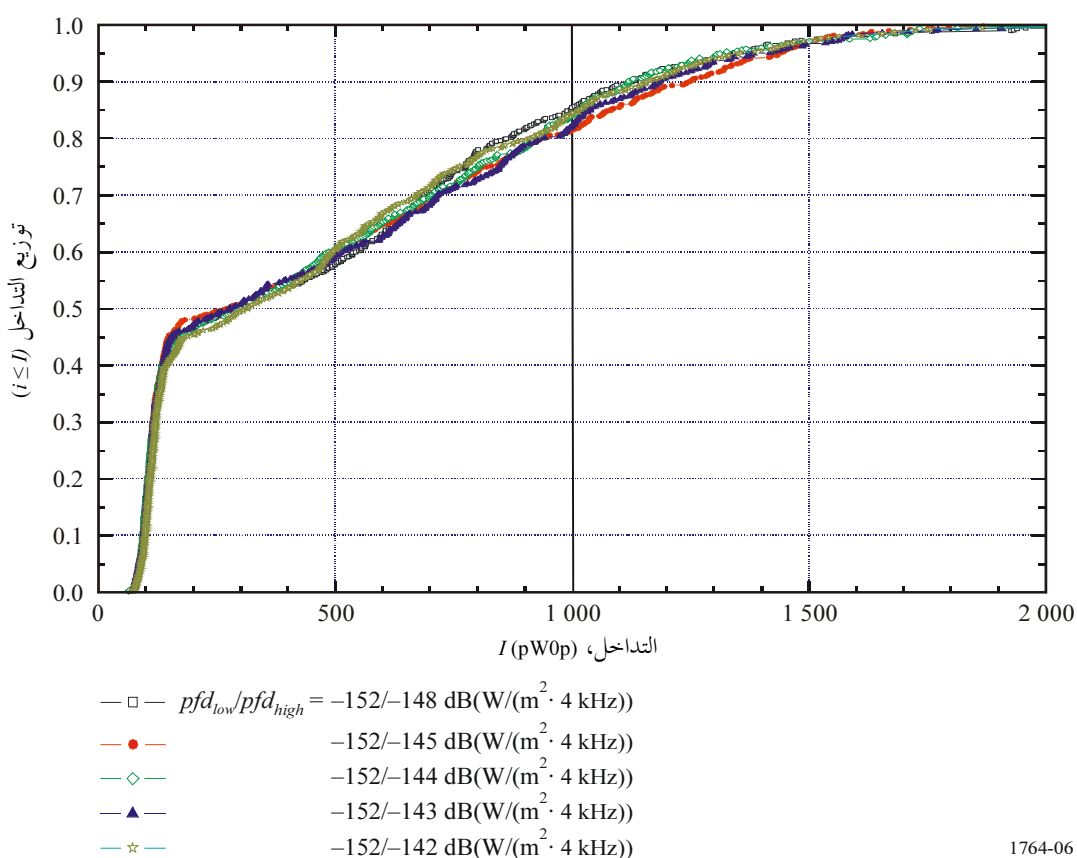
2.1.3 بالنسبة لمحطات الترحيل الراديوي الرقمية

يبين الجدول 3 معلمات النظام لبيان لاسلكي ثابت رقمي وسفينة فضائية HAPS المستعملة في الحسابات. كما تستند معلمات النظام الخاصة بنظام لاسلكي ثابت لتقاسم الترددات إلى التوصية ITU-R F.758.

بالنسبة للنطاقات التي يتم فيها التحكم في الخيو ببعض المسير، فإن التوصية ITU-R F.758 تنص على أنه يجب أساساً لا تزيد سوية التداخل نسبة إلى الضوضاء الحرارية للمستقبل عن -10 dB (أو -6 dB). في حالة أنظمة الخدمة الثابتة الرقمية، تقابل هذه القيم قيمة الخطاط جزئي في الأداء تبلغ 10% (أو 25%)، على التوالي. وبفرض أن سوية الحماية المطلوبة تساوي 10%， فإن توزيعات التداخل المتوقعة من سفن فضائية HAPS إلى محطات ترحيل راديوي تكون على النحو الموضح في الشكل 7 والشكل 8 مع المتغيرين pfd_{high} و pfd_{low} .

الشكل 6

توزيع التداخل من سفن فضائية HAPS مع pfd_{high}



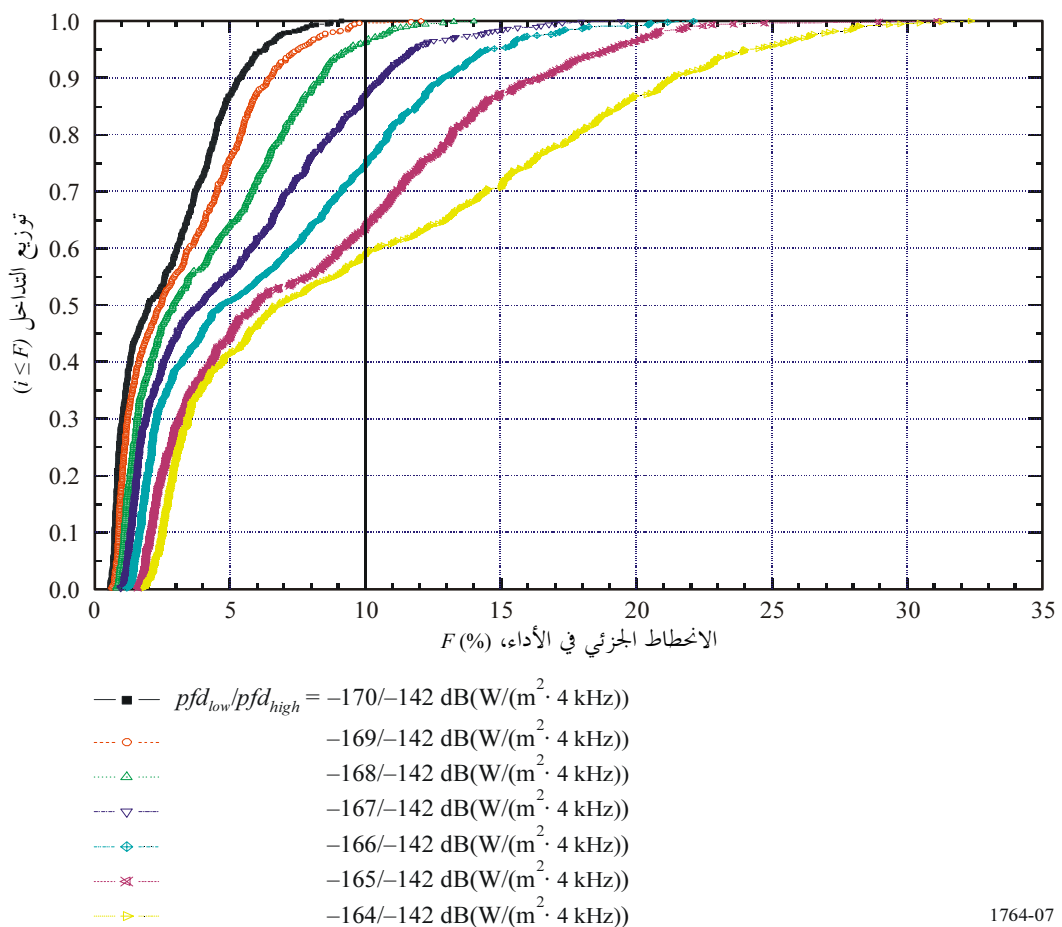
الجدول 3

معلومات النظام لاسلكي ثابت رقمي وسفينة فضائية HAPS

المواصفات	المعلمات	
ITU-R F.1245 التوصية	مخطط إشعاع الموائي	نظام لاسلكي ثابت
dB 45	الكسب الأقصى لهوائي	
dB 5,5	خسارة المغذي	
dB 4	عامل ضوضاء المستقبل	
توزيع غولي	زاوية الارتفاع بين محطة الترحيل الراديوية	
-146 ~ -140 (dB(W/(m ² · MHz)))	الحد الأدنى لكتافة تدفق القدرة (pfd_{low})	سفينة فضائية HAPS
-127 ~ -118 (dB(W/(m ² · MHz)))	الحد الأعلى لكتافة تدفق القدرة (pfd_{high})	

في الشكل 7، بافتراض أن سوية كثافة تدفق القدرة لسفينة فضائية HAPS تساوي $118 - 140$ (dB(W/(m² · MHz))) فإن الانحطاط الجزئي في أداء محطات الترحيل الراديوية يكون أقل من 10% في نحو 58% من الطرق. وعند تناقص الحد الأدنى لكتافة تدفق القدرة pfd_{low} ، فإن التداخل الواقع يقل أيضاً. فمثلاً عندما تتناقص pfd_{low} بمقدار 6 dB (146 - 146-140 (dB(W/(m² · MHz))), فإن الانحطاط الجزئي في أداء محطات الترحيل الراديوية في 100% من الطرق يقل عن معيار التداخل المفترض والبالغ 10%.

الشكل 7

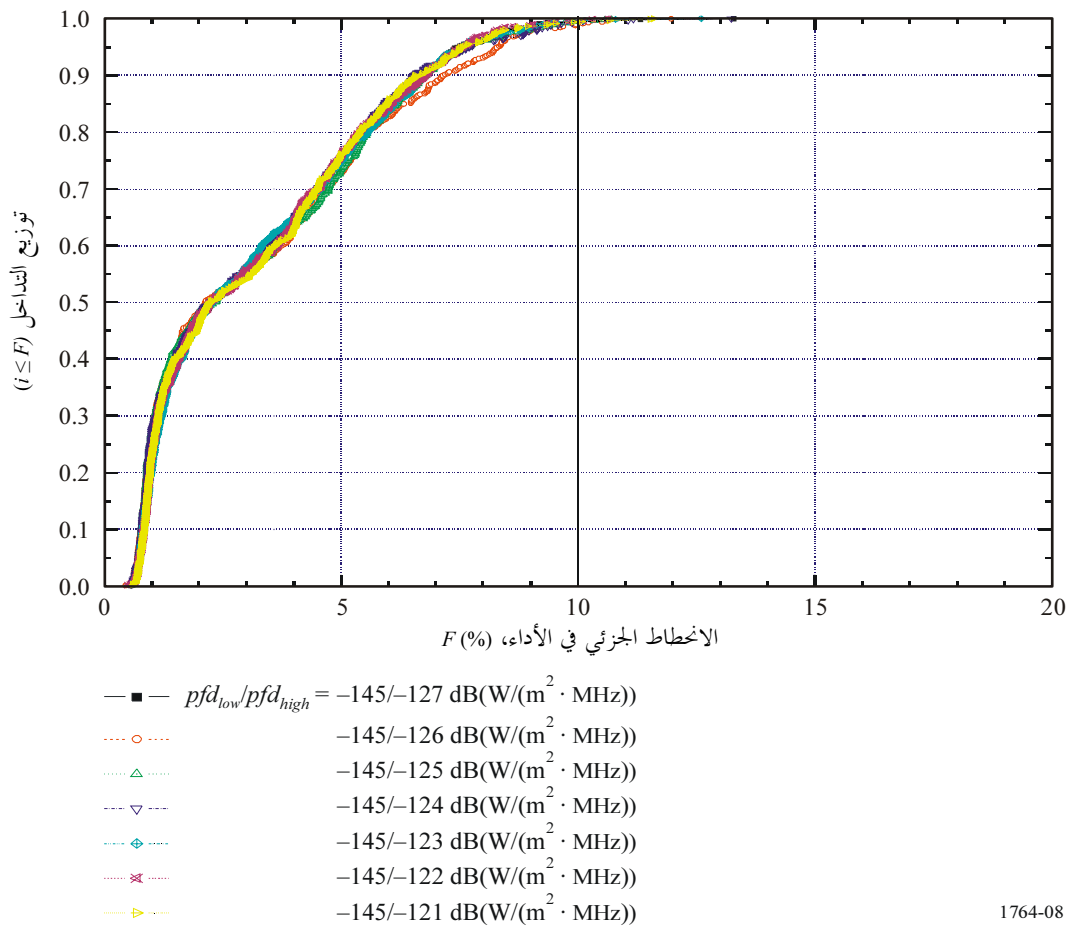
توزيع الانحطاط الجزئي في الأداء مع pfd_{low} من سفن فضائية HAPS

ويبيّن الشكل 8 توزيع التداخل مع التغيرات في pfd_{high} عندما تكون pfd_{low} تساوي $-145 \text{ dB}(W/(m^2 \cdot \text{MHz}))$. وحتى لو تناقص pfd_{high} بمقدار 6 dB عن القيمة $-121 \text{ dB}(W/(m^2 \cdot \text{MHz}))$ ، فإن الفرق الأقصى في توزيع التداخل الذي يقل عن 10% سيكون حوالي 5% فقط.

2.3 التداخل من محطات أرضية HAPS إلى محطة ترحيل راديوية

يبين الجدول 4 معلمات النظام لنظام لاسلكي ثابت ونظام محطات المنصات عالية الارتفاع HAPS المستعملة في الحسابات.

الشكل 8

توزيع الانحطاط الجزئي في الأداء مع pfd_{high} من سفن فضائية HAPS

الجدول 4

معلومات النظام لنظام لاسلكي ثابت ونظام HAPS

القيم	المعلمات	
GHz 6		التردد
ITU-R F.1245	مخطط إشعاع الهوائي	نظام لاسلكي ثابت
dB 45	الكسب الأقصى للهوائي	
dB 4	عامل الضوضاء	
dB 5,5	خسارة المغذي	
Km 110	قطر تغطية الخدمة	نظام محطات المنشآت
Km 20	ارتفاع سفينة فضائية	عالية الارتفاع HAPS
ITU-R F.1245	مخطط إشعاع هوائي الحطة الأرضية	
dB 45	الكسب الأقصى هوائي الحطة الأرضية	
367 (توزيع منتظم)	عدد المحطات الأرضية	
Km 5,5	المسافة بين المحطات الأرضية	

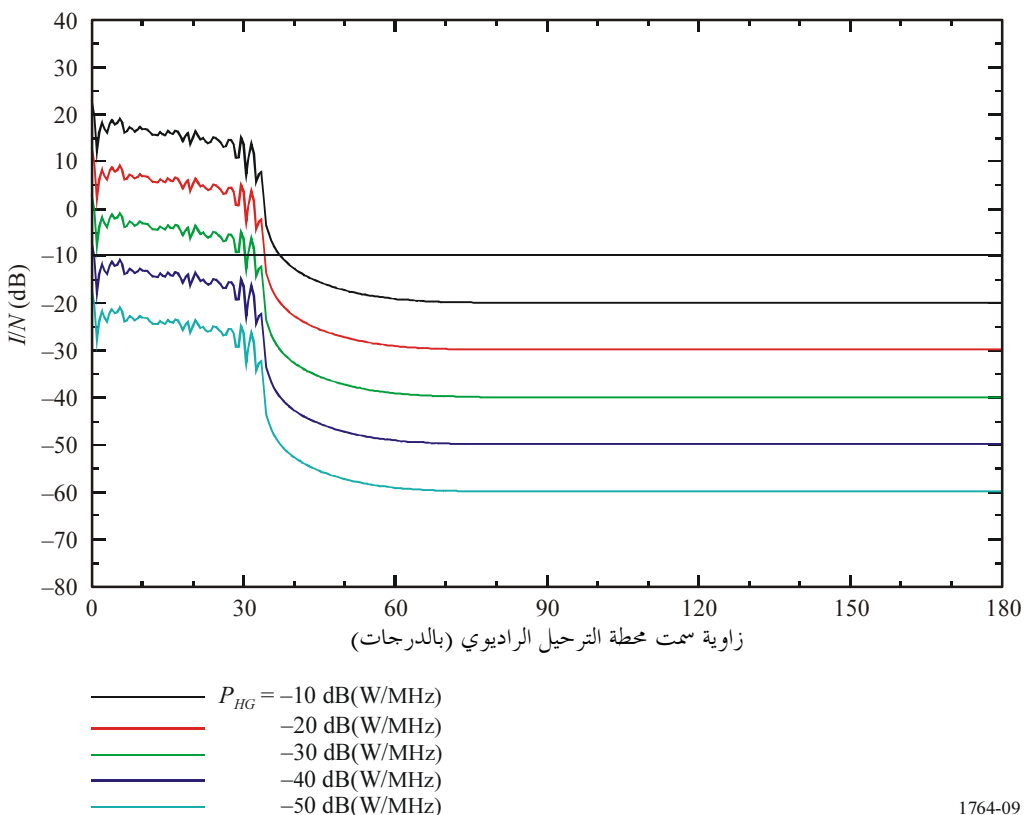
ويفرض أن T تساوي 293 K و B تساوي 1 MHz و NF تساوي 6 dB، فإن قدرة الضوضاء N تساوي 137,93 dB(W/MHz). وبفرض أن النسبة (I/N) تساوي 10% كمعيار، فإن قدرة التداخل المسموح به، I_{G-T} ، يجب أن تكون أقل من 147,93 dB(W/MHz).

وحيث إن I_{G-T} تعتمد على قدرة إرسال المحطة الأرضية HAPS والزاوية بين مسارات الإشارة والمسافة بين محطة الترحيل الراديوية ونظير سمت نظام محطات المنصات عالية الارتفاع (HAPS)، فإنه يمكن حساب النسبة I/N بهذه المعلومات باستخدام المعادلة (8).

ويبين الشكل 9 قيم I/N مع قدرة إرسال P_{HG} عند كل زاوية سمت δ عندما تكون المسافة r تساوي 100 كم. ويتبين من هذا الشكل أن قدرة التداخل تتأثر طبيعياً بقدرة الإرسال لكل محطة أرضية HAPS وأنه عندما تكون P_{HG} تساوي 50 dB(W/MHz)، فإن I/N لا تتجاوز -10 dB في كل زوايا السمت.

الشكل 9

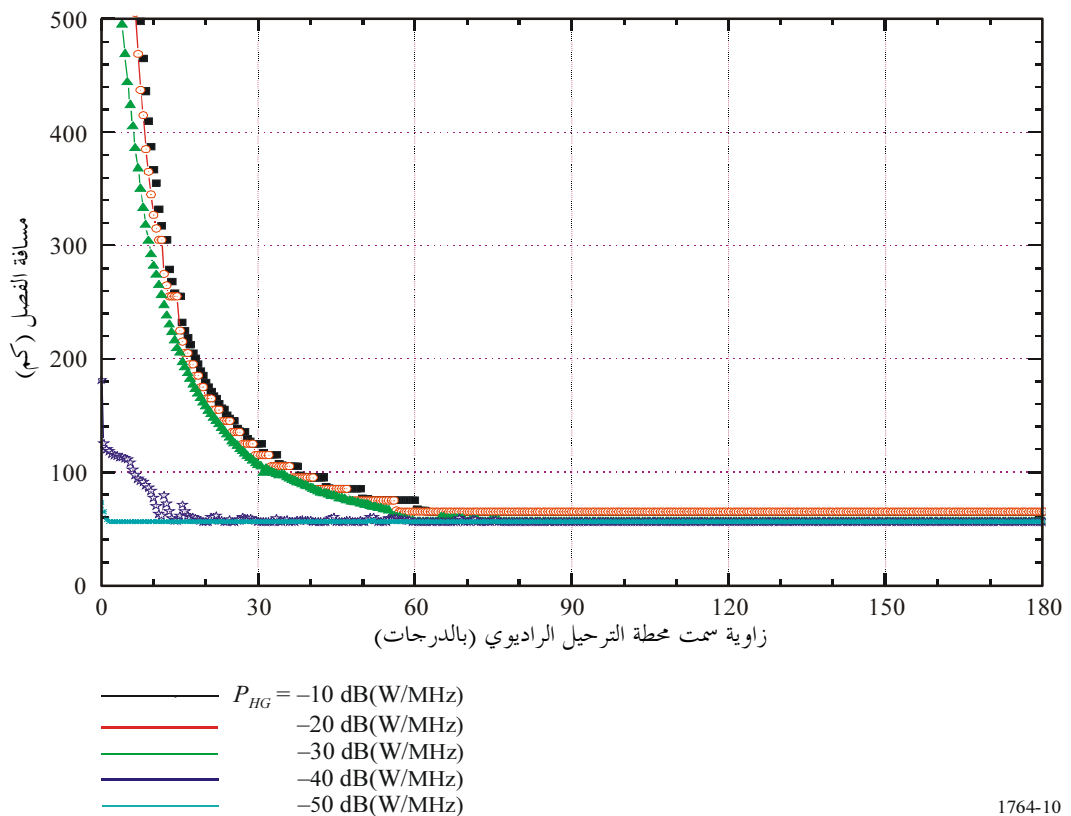
P_{HG} مع قدرة الإرسال I/N



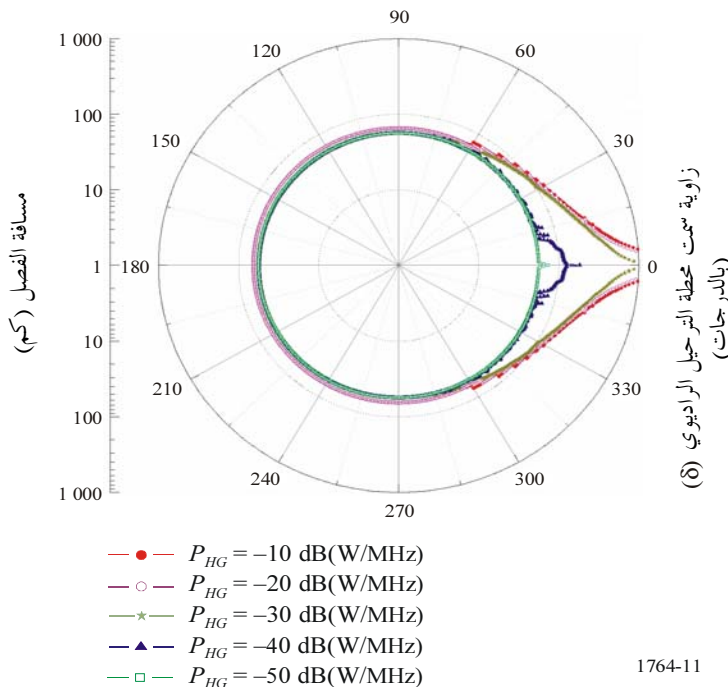
ويبين الشكلان 10 و 11 مسافة الفصل بين محطة الترحيل الراديوية ونظير سمت سفينة فضائية HAPS. والحد الأقصى لمسافة الفصل مطلوب عند زاوية السمت δ التي تساوي صفر درجة. وعندما يكون نصف قطر تغطية النظام 55 كم وقدرة الإرسال لكل محطة أرضية HAPS، P_{HG} تساوي -50 dB(W/MHz)، فإن مسافة الفصل المطلوبة لتقاسم الترددات بين محطات الترحيل الراديوية والمحطات الأرضية HAPS تتراوح بين 56 كم و 73 كم.

الشكل 10

مسافة الفصل بين محطة ترحيل راديوى ونظير سمت سفينة فضائية HAPS مع قدرة إرسال المحطات الأرضية HAPS



الشكل 11
مسافة الفصل بين محطة ترحيل راديوي ونظير سمت سفينة فضائية HAPS
(مخطط قطبي)



4 خلاصة

يعرض هذا الملحق طريقة لتقدير التداخل من نظام HAPS إلى نظام لاسلكي ثابت ومثلاً لتقدير التداخل عند تردد قدره 6 GHz. وقد فرض هذا التردد لعرض مثال لتقدير التداخل فحسب.

ويتم تقدير التداخل من سفن فضاء HAPS إلى محطات الترحيل الراديوية مع متغيرات سوية كثافة تدفق القدرة لسفينة فضائية HAPS على سطح الأرض.

ويتم تقدير التداخل من المحطات الأرضية HAPS إلى محطة ترحيل راديوية بدالة I/N وتم حساب مسافة الفصل المطلوبة لتقاسم الترددات كدالة في زاوية السمت.